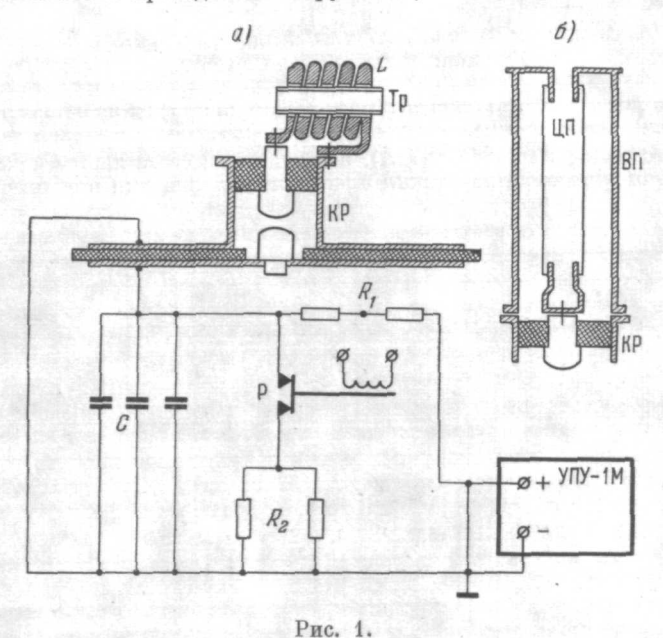
538.12

## ЛЕКЦИОННЫЕ ДЕМОНСТРАЦИИ С ИМПУЛЬСНЫМИ МАГНИТНЫМИ ПОЛЯМИ

Если вокруг тела с электропроводностью о достаточно быстро создать магнитное поле, последнее диффундирует в тело за малое время t лишь на некоторую глубину скин-слоя  $l = c\sqrt{t/4\pi\sigma}$ . В результате возникновения градиента поля на тело будет действовать магнитное давление  $p_m = -\sqrt{H^2/8\pi}$ . Это явление используется в плазменных ускорителях, для магнитного сжатия плазмы (пинч прямого тока, тэта-пинч). Для качественной демонстрации упомянутых магнитогидродинамических эффектов весьма удобно пользоваться металлическими проводниками, механические и электрические характеристики которых выбраны соответствующим образом.

Ниже приводятся описания демонстраций по радиальному обжатию металлической трубки импульсным магнитным полем, а также некоторых эффектов, связанных

с захватом поля трубкой. Импульсное поле создавалось при разряде конденсаторной батареи на соленоид, внутрь которого предварительно вставлялась трубка. Эксперименты первоначально проводились с трубками Ø70-80 мм, спаянными из медной



фольги толщиной 0,15 мм. Однако более содержательными оказались опыты с дюр-

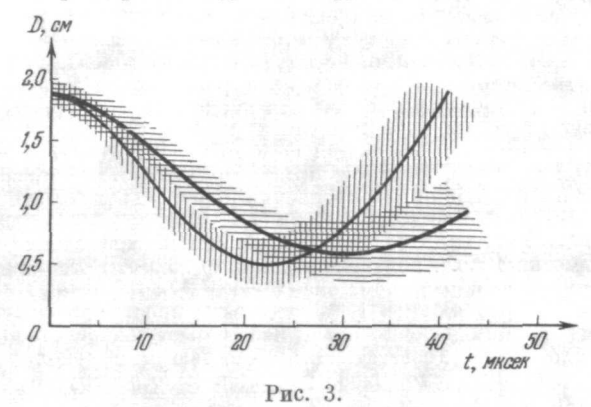


Рис. 2.

параметрах скин-слой и толщина стенки оказываются величинами одного порядка; варьируя толщину стенки либо электропроводность, можно выделить или ослабить эффекты, связанные с диффузией магнитного поля. Если скин-слой меньше толщины стенки, то преобладает эффект чисто внешнего давления. Обжатие цилиндра происходит с характерными складками (рис. 2, а) благодаря потере устойчивости 1. Утоньшение стенки приводит к значительной диффузии магнитного поля в трубку. Когда поле внутри трубки достигнет своего максимального значения и начнет спадать, возникающие индукционные токи удерживают магнитное поле внутри трубки, так что в течение некоторого времени внутреннее поле превышает внешнее, что приводит к обратному разлету стенок. Фоторегистрированием с торца трубки было установлено, что вначале происходит радиальное сжатие стенок со скоростью 200-300 м/сек,

с последующим их разлетом. На рис. 2, 6 приведены фотографии трубок после разру шения, а на рис. 3-результаты обработки регистрограмм для толщин стенок 0,75 и 1 мм (горизонтальная штриховка) при начальном напряжении на конденсаторах 4,8 кв. Границы штриховки указывают приблизительно внутренние и внешние диаметры. Для подробного рассмотрения деформированных трубок удобно пользоваться эпидиаскопом.

Путем осциллографирования производной тока и соответствующих расчетов были определены параметры контура без трубки. Период затухающих колебаний



T=80 мксек (со вставленной трубкой — 75 мксек), полная индуктивность  $L_0=0.38$  мкгн, индуктивность соленоида L=0.25 мкгн, емкость батареи 420 мк $\phi$ .

Амплитуда тока первого полупериода при начальном напряжении 4,8 KB конденсаторах  $I_{\text{max}} = 130 \quad \kappa a$ соответствующее в центре соленоида H==100 кгс, максимальное магнитное давление  $p_m \simeq 425 \ \kappa \Gamma / c M^2$ . Давление, действующее на вставленную в соленоид трубку, должно значительно превышать указанную величину за счет эффекта концентрации поля в начальный момент в пространстве между соленоидом и трубкой.

На установке можно также проводить опыты по обжатию проводника с прямолинейным током. Вместо соленоида устанавливается короткозамкнутый отрезок коаксиальной линии. Шесть стержней, впаянных с концов во фланец, образуют внешний коаксиальный проводник Ø 70 мм (BII). Центральный проводник (ЦП) Ø 20 мм, подвергающийся обжатию, свернут из нескольких слоев медной фольги толщиной 0,1-0,15 мм; верхним концом он крепится к указанному выше фланцу, нижним - к центральному электроду разрядника (см. рис. 1, б и рис. 4 справа сверху). В этих опытах радиальное обжатие центрального проводника хорошо выражено лишь у мест крепления; в средней части провод-ника картина обычно сильно усложняется различными видами неустойчивостей, характерными для плазменных экспериментов.

Схема установки приведена на рис. 1, а. С — батарея конденсаторов типа ИМ5-150,  $R_1$ —зарядное сопротивление, составлено из двух сопротивлений ПЭ-150 по 20 ком. Р — реле блокировочное с нормально замкну-

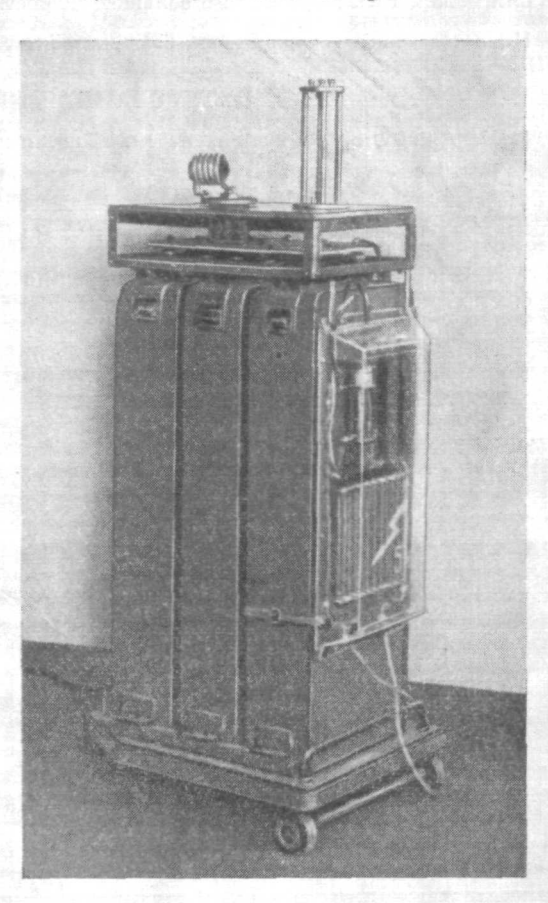


Рис. 4.

тыми контактами, переделано из реле типа КА путем разнесения контактной группы.  $R_2$  — блокировочное сопротивление, состоит из двух параллельно включенных открытых спиралей по 40 ом из нихрома  $\varnothing$  1 мм; конструкция отвечает требо-

ваниям необходимой надежности и возможности постоянного визуального контроля исправности  $R_2$ . Детали  $R_1$ ,  $R_2$ , P собраны на вертикальной панели, подвешенной на стенке конденсаторов и закрытой прозрачным колпаком из оргстекла (рис. 4). Ошиновка конденсаторов выполнена 4-мм латунными листами с прокладкой из вакумной резины толщиной 3 мм. Шины стянуты сквозными болтами с изолирующими шайбами. На шинах установлен коаксиальный разрядник KP, внешний проводник которого содержит ряд продольных щелей для предотвращения разрушения ударной волной, возникающей при разряде. Зазор между внутренними электродами  $\emptyset$ 30 мм может регулироваться путем перемещения верхнего электрода. Над ошиновкой установлен сварной ящик-каркас, облицованный сверху текстолитом, сбоку — оргстеклом. Ящик служит одновременно для крепления корпусов конденсаторов, для защиты высоковольтных электродов и в качестве столика.

Цельноточенный латунный соленоид содержит четыре витка сечением  $0.7 \times 1.65 \text{ cm}^2$ , шаг намотки 10 мм, внутренний диаметр 25 мм. К торцам соленоида принаяны диски с отверстием и разрезом, оканчивающиеся короткими изогнутыми лапками для крепления на разряднике. В межвитковые пространства вставлены текстолитовые шайбы, внутренний рабочий объем изолирован тонкостенной винипластовой трубкой. Соленоид обладает достаточной прочностью и в дополнительной защите витков не нуждается (лишь после 30-35 разрядов было обнаружено незначительное

раскручивание витков).

При экспериментах необходимо иметь в виду, что направление вдоль оси катушки является опасным, так как при сильно ассимметричном расположении трубки последняя может быть выброшена с большой скоростью.

Новосибирский государственный университет

Ф. Х. Байбулатов

## ЦИТИРОВАННАЯ ЛИТЕРАТУРА

1. М. А. Лаврентьев, А. Ю. Ишлинский, ДАН СССР 64, 779 (1949).